

论文相似性检测报告（详细版）

报告编号: 17922168-d29f-4b5e-9d25-a60c00cc0a1a

原字数: 19,638

检测日期: 2016年05月20日

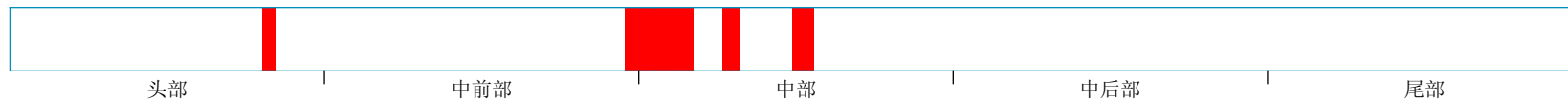
检测范围: 中国学术期刊数据库 (CSPD)、中国学位论文全文数据库 (CDD)、中国学术会议论文数据库 (CCPD)、中国学术网页数据库 (CSWD)

检测结果:

一、总体结论

总相似比: **14.68%** (参考文献相似比: **0.00%**, 排除参考文献相似比: **14.68%**)

二、相似片段分布



注: 绿色区域为参考文献相似部分, 红色区域为其它论文相似部分。

三、相似论文作者 (举例12个)

[点击查看全部举例相似论文作者](#)


四、典型相似论文 (举例28篇)

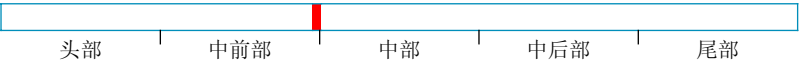
序号	相似比	相似论文标题	参考文献	论文类型	作者	来源	发表时间
1	3.67%	<u>一种多功能液压试验台控制系统设计</u>		期刊论文	权钰云	价值工程	2015
2	3.67%	<u>新型湿式喷浆机的研发</u>		学位论文	张波	山东科技大学	2014
3	3.67%	<u>缆车卷放装置回转液压系统动态仿真研究</u>		学位论文	莫国伟	辽宁工程技术大学	2011
4	2.75%	<u>海军舰船密封现状与泄漏治理</u>		期刊论文	王斌 等	舰船科学技术	2005

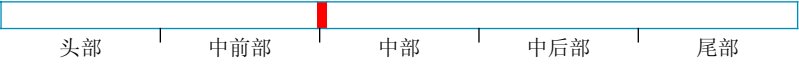
序号	相似比	相似论文标题	参考文献	论文类型	作者	来源	发表时间
5	2.75%	<u>立体车库的结构形式及应用与发展</u>		期刊论文	贺拥军 等	建筑科学与工程学报	2009
6	2.75%	<u>曲臂高空作业车液压系统的设计研究</u>		学位论文	孔德琴	合肥工业大学	2009
7	1.83%	<u>中间包滑动水口液压系统建模与仿真</u>		学位论文	张国权	东北大学	2009
8	1.83%	<u>深海液压系统专用注油装置的设计与实现</u>		学位论文	郝帅	浙江大学	2013
9	1.83%	<u>跨座式单轨交通车辆转向架综合试验台液压系统研究</u>		学位论文	刘伟	重庆大学	2010
10	1.83%	<u>专用磨床静压支承系统分析与仿真</u>		学位论文	徐铮	兰州理工大学	2009
11	1.83%	<u>锻造操作机夹钳升降液压系统建模与仿真</u>		学位论文	刘治宇	东北大学	2008
12	1.83%	<u>高速水稻插秧机分插机构试验台的研究;割前摘脱稻麦联收机底盘的设计研究</u>		学位论文	王金武	浙江大学	2003
13	1.83%	<u>背罐车设计及结构分析</u>		学位论文	汤传彬	南京理工大学	2006
14	1.83%	<u>内螺旋油槽专用铣床机械系统的设计研究</u>		学位论文	尤永祥	广东工业大学	2011
15	1.83%	<u>虚功原理法进行多层剪叉机构受力分析</u>		期刊论文	于永江 等	机械设计与制造	2008



[点击查看全部举例相似论文](#)



五、相似论文片段（共9个）



1	送检论文片段	相似论文片段 【2.75%】
	<p>位置：</p> <p>根据不同的特点，立体车库的种类可以分成很多种。根据汽车的泊位和数量，可以分为大型立体车库、中型立体车库和小型立体车库；根据使用类型的不同，可以分为停放小轿车的立</p>	<p>来源：<u>立体车库的结构形式及应用与发展</u></p> <p>[期刊论文]《建筑科学与工程学报》，2009年 贺拥军 等</p> <p>升降横移式、水平循环式、多层循环式、简易升降式、巷道堆垛式、汽车升降机、垂直升降式、垂直循环式[7堪]；根据汽车的泊位和数餐，可以分为大型立体车库、中型立体车库和小</p>

<p>体车库和停放大型公交车的立体车库；根据使用场合的不同，可以分为公共型立体车库和家用型立体车库；根据建筑形式可分为独立式和内置式（依附式）。而根据工作结构及形式可分为循环方式、升降或横移方式、巷道</p>	<p>型立体车库；根据使用类别的不同，可以分为停放小型轿车的立体车库和停放大型公交车的立体车库；根据使用场合的不同，可以分为公共型立体车库和家用型立体车库；根据与房屋建筑的关系，可以将立体车库分为独立式和内置式（依附式）。如图1所示，对于多高层电梯式立体车库，按抗侧力构件的类型和布置形式，可以分为</p>
<p>2 送检论文片段</p> <p>位置： </p> <p>液压缸</p> <p>取末端条件系数，中碳钢柔性系数，活塞杆断面回转半径：</p> <p>细长比：</p> <p>根据欧拉公式：</p> <p>底部举升液压缸缸实际工作负载：</p> <p>，所以活塞杆满足压杆稳定性。</p>	<p>相似论文片段 【1.83%】</p> <p>来源：<u>曲臂高空作业车液压系统的设计研究</u> [学位论文]孔德琴，2009年 合肥工业大学</p> <p>压力循环图和总流量循环图后，根据$P=pQ$，即可绘出系统的功率循环图。2.5 液压元件的选择和专用件设计2.5.1 液压泵的选择1、确定液压泵的最大工作压力p_p。$p_p \geq P/\sum A P(2-24)$式中 p_p ——液压缸或液压马达最大工作压力 $\sum \Delta p$ ——从液压泵出口到液压缸或液压马达入口之间总的管路损失。$\sum A P$的准确计算要待元件选定并绘出管路图后才能进行，计算时可按经验数据选取。管路简单、流速不大的，取$\sum \Delta p=(0.2-0.5)$MPa；管路复杂、进口有调速阀的，取$\sum \Delta p=(0.5-1.5)$MPa。2、确定</p>

<p>第5章 液压元件的选择</p> <p>5.1 液压泵的选择</p> <p>1. 确定液压泵的最大工作压力</p> <p>式中：——液压缸或液压马达最大工作压力（MPa） ——从液压泵出口到液压缸或液压马达入口之间总的管路损失</p>	
<p>3 送检论文片段</p> <p>位置： </p> <p>液压泵的选择</p> <p>1. 确定液压泵的最大工作压力</p> <p>式中：——液压缸或液压马达最大工作压力（MPa） ——从液压泵出口到液压缸或液压马达入口之间总的管路损失，按经验数据选取=1MPa</p> <p>2. 确定液压泵的流量</p> <p>多液压缸或液压马达同时工作时，液压泵输出流量应为</p> <p>K——系统泄漏系数，一般取$K=1.1\sim 1.3$，此处取$K=1.2$；</p>	<p>相似论文片段 【1.83%】</p> <p>来源：一种多功能液压试验台控制系统设计 [期刊论文]《价值工程》，2015年 权钰云</p> <p>额定工作压力为2.5 MPa、最大工作压力为2.8 MPa；$\Sigma \Delta p$——从液压泵出口到液压缸或液压马达入口之间总的管路损失。$\Sigma \Delta p$的准确计算要待元件选定并绘出管路图时才能进行，初算时可按经验数据选取：管路简单、流速不大的，取 $\Sigma \Delta p = (0.2 \sim 0.5) \text{ MPa}$；管路复杂，进口有调阀的，取 $\Sigma \Delta p = (0.5 \sim 1.5) \text{ MPa}$，则可得液压泵的最大工作压力：3.0 MPa。②确定液压泵的流量Q_P。多液压缸或液压马达同时工作时，液压泵的输出流量应为 $Q_P \geq K (\Sigma Q_{max})$ 【】式中K——系统泄漏系数，一般取 $K = 1.1 \sim 1.3$；ΣQ_{max}——同时动作的液压缸或液压马达的最大</p>

<p>——同时动作的液压缸或液压马达的最大总流量，可从流量</p>	
<p>4</p> <p style="text-align: center;">送检论文片段</p> <p>位置:</p>  <p style="text-align: center;">头部 中前部 中部 中后部 尾部</p> <p>选取=1MPa</p> <p>2. 确定液压泵的流量</p> <p>多液压缸或液压马达同时工作时，液压泵输出流量应为</p> <p>K——系统泄漏系数，一般取$K=1.1\sim 1.3$，此处取$K=1.2$；</p> <p>——同时动作的液压缸或液压马达的最大总流量，可从流量循环图查得</p> <p>3. 选择液压泵的规格</p> <p>根据上面求得和值，系统中拟定的液压泵</p>	<p style="text-align: right;">相似论文片段 【1.83%】</p> <p>来源：<u>小口径钻杆生产线淬火及回火工序的开发设计</u></p> <p>[学位论文]张淑慧，2008年 中北大学</p> <p>选取：管路简单，流速不大时，取$\Sigma AP=(0.20\sim 0.5)$MPa；管路复杂，进nNNNNN，取$\Sigma AP=(0.5\sim 1.5)$MPa；在本液压系统中，管路比较复杂，所以选取$\Sigma AP=1.5$MPa。由第一章知液压缸的最大工作压力为$0.8\sim 1$MPa，则液压泵最高工作压力$0\sim 2.5$MPa。取液压泵最高工作压力为5MPa。b. 确定液压泵的流量多液压缸或液压马达同时工作时，液压泵的输出流量为：$g\geq K(\Sigma Q_m)$ (4.2)式中：K——系统泄漏系数，一般取$K=1.1\sim 1.3$。Q——同时工作的液压缸或液压马达的最大总流量，对于在工作过程中用节流调速的系统</p>
<p>5</p> <p style="text-align: center;">送检论文片段</p> <p>位置:</p>  <p style="text-align: center;">头部 中前部 中部 中后部 尾部</p> <p>流量循环图查得</p> <p>3. 选择液压泵的规格</p> <p>根据上面求得和值，系统中拟定的液压泵为柱塞泵，由《液压技术实用手册》，选择型号为PV-32-A3-R-M-1-A的轴向变量柱塞泵。具体参数如下：</p> <p>额定压力：35MPa 几何排量：32mL/r</p> <p>转速：300~2400r/min 流量（1500r/min）：48L/min</p> <p>最大输入功率：31kW</p> <p>4. 确定液压泵的驱动功率</p> <p>液压泵驱动功率</p>	<p style="text-align: right;">相似论文片段 【1.83%】</p> <p>来源：<u>电缆车卷放装置回转液压系统动态仿真研究</u></p> <p>[学位论文]莫国伟，2011年 辽宁工程技术大学</p> <p>一般取 $\eta = 0.8\sim 0.9$。(3) 选择液压泵的规格根据以上结果求得的 $\max p$ 和 $\max v_q$ 值，并考虑系统结构安装选取液压泵的形式，从《液压工程师手册》中选择合适的液压泵。为使液压泵有压力储备，所选泵的额定压力一般要比最大工作压力高 25%~60%。(4) 液压泵的驱动功率 P在工作过程中，如果液压泵的流量和压力比较恒定，即 $p-t$ 图、tq_v 图变化较平缓，则$p_v q_{pp} \eta_{\max} = (3.21)$ 其中，$\max p$ ——液压泵的最大工作压力，Pa；$\max v_q$ ——液压泵的输出流量，m^3/s；η ——液压泵的总效率，0.8~0.85。根据</p>

<p>式中：——液压泵的最大压力 (Pa)； ——液压泵的流量 ()； ——液压泵的总效率，参考《液压技术实用手册》表5-9，取=0.8</p> <p>5. 电动机的选择</p>	
<p>6</p> <p style="text-align: center;">送检论文片段</p> <p>位置： </p> <p>选择 根据计算出的液压泵驱动功率，选取型号为Y160L2-4 B35的三相异步电机。</p> <p>5.2 液压阀的选择</p> <p>1. 基本要求</p> <p>(1) 可靠性好，灵敏度高，工作时振动小，压力损失少，泄漏量小； (2) 安装方便，价格适中，寿命长久。</p> <p>2. 应注意的问题</p> <p>(1) 阀的规格，根据系统的工作压力和实际通过该阀的最大流量 (2) 选择溢流阀时，应按液压泵的最大流量选取；选择节流阀和调速阀时，应考虑其最小稳定流量满足机器低速性能的要求。 (3) 一般</p>	<p style="text-align: right;">相似论文片段 【1.83%】</p> <p>来源：<u>一种多功能液压试验台控制系统设计</u> [期刊论文]《价值工程》，2015年 权钰云</p> <p>储备，所选泵的额定压力一般要比最大工作压力大25%~60%。选得的液压泵的参数规格如下：型号：PV270jj}量/mL+s“f-1)：270额定压力/MPa：32额定转速/r木min^(—1)：1500驱动功率，kW：容积效率/ %：132≥923. 2液压阀的选择阀的规格，根据系统的工作压力和实际通过该阀的最大流量，选择有定型产品的阀件。溢流阀按液压泵的最大流量选取：选择节流阀和调速阀时，要考虑最小稳定流量应满足执行机构最低稳定速度的要求。控制阀的流量一般要选得比实际</p>
<p>7</p> <p style="text-align: center;">送检论文片段</p> <p>位置： </p> <p>密封可靠、外形尺寸小、通流能力大、压降小、工艺性好等各种条件。 管接头的种类很多，液压系统中油管与管接头的常见联接方式有：焊接式管接头、卡套式管</p>	<p style="text-align: right;">相似论文片段 【2.75%】</p> <p>来源：<u>海军舰船密封现状与泄漏治理</u> [期刊论文]《舰船科学技术》，2005年 王斌 等</p> <p>各种介质和工作环境中优先选用的密封填料H1。2.3 管系密封每个管系一般由管路、设备、机械和测量仪表组成，管路则由管子、附件、衬垫、联结件、绝缘层及吊支架等组成。常见管</p>

<p>接头、扩口式管接头、扣压式管接头、固定铰接管接头。管路旋入端用的连接螺纹采用国际标准米制锥螺纹（ZM）和普通细牙螺纹（M）。锥螺纹依靠自身的锥体旋紧和采用聚四氟乙烯等进行密封，广泛用于中、低压液压系统；细牙螺纹密封性好，常用于高压系统，但要求采用组合垫圈或O形圈进行端面密封</p>	<p>接头包括焊接式管接头、卡套式管接头、扩口式管接头、扣压式胶管接头</p>
<p>8</p> <p style="text-align: center;">送检论文片段</p> <p>位置:</p>  <p>液压系统性能验算</p> <p>液压系统初步设计是在某些估计参数情况下进行的，当各回路形式、液压元件及连接管路等完全确定后，针对实际情况对所设计的系统进行各项性能分析。对一般液压系统来说，主要是进一步确切地计算液压回路各段压力损失、容积损失及系统效率、压力冲击和发热温升等。根据分析计算发现问题，对某些不合理的设计要进行</p>	<p style="text-align: right;">相似论文片段 【1.83%】</p> <p>来源：新型湿式喷浆机的研发</p> <p>[学位论文]张波，2014年 山东科技大学</p> <p>液压系统性能验算液压系统初步设计是在某些估计参数情况下进行的，当各回路型式、液压元件及连接管路等完全确定后，应当对系统进行性能验算，计算液压回路各段压力损失、容积损失、系统效率、压力冲击和发热升温等。如果某项参数达不到设计要求，就要对设计进行调整或则采用相应措施，保证系统</p>
<p>9</p> <p style="text-align: center;">送检论文片段</p> <p>位置:</p>  <p>性能分析。对一般液压系统来说，主要是进一步确切地计算液压回路各段压力损失、容积损失及系统效率、压力冲击和发热温升等。根据分析计算发现问题，对某些不合理的设计要进行重新调整，或采取其他必要的措施。</p> <p>6.1 液压系统压力损失</p> <p>1. 沿程压力损失</p> <p>沿程压力损失主要是液压马达平移时的压力损失。此管路长28m，管内径12mm，快速时通过的流量0.285L/s，选用20号机械损耗系统</p>	<p style="text-align: right;">相似论文片段 【1.83%】</p> <p>来源：背罐车设计及结构分析</p> <p>[学位论文]汤传彬，2006年 南京理工大学</p> <p>设计的系统进行各项性能分析。主要是准确地计算液压回路各段压力损失、容积损失及系统效率、压力冲击和发热温升等。根据分析计算发现问题，对某些不合理的设计要重新进行调整，或采取其它必要措施。3.5.1 液压系统的压力损失压力损失包括管路的沿程损失如。管路的局部压力损失Δp_2和阀类元件的局部损失如。总的压力损失为 $\Delta p = \Delta p_1 + \Delta p_2$ 工程硕士学位论文 背罐车设计</p>

六、全部举例相似论文作者（共12个）

序号	作者	典型片段总相似比	剩余相似比
1	权钰云	3.67%	11.01%
2	贺拥军	2.75%	11.93%
3	王斌	2.75%	11.93%
4	谢沛霖	2.75%	11.93%
5	杨承超	2.75%	11.93%
6	刘永健	2.75%	11.93%
7	周绪红	2.75%	11.93%
8	汤传彬	1.83%	12.84%
9	张波	1.83%	12.84%
10	孔德琴	1.83%	12.84%
11	张淑慧	1.83%	12.84%
12	莫国伟	1.83%	12.84%

七、相似论文（举例28篇）

序号	相似比	相似论文标题	参考文献	论文类型	作者	来源	发表时间
1	3.67%	一种多功能液压试验台控制系统设计		期刊论文	权钰云	价值工程	2015
2	3.67%	新型湿式喷浆机的研发		学位论文	张波	山东科技大学	2014
3	3.67%	电缆车卷放装置回转液压系统动态仿真研究		学位论文	莫国伟	辽宁工程技术大学	2011
4	2.75%	海军舰船密封现状与泄漏治理		期刊论文	王斌 等	舰船科学技术	2005

序号	相似比	相似论文标题	参考文献	论文类型	作者	来源	发表时间
5	2.75%	<u>立体车库的结构形式及应用与发展</u>		期刊论文	贺拥军 等	建筑科学与工程学报	2009
6	2.75%	<u>曲臂高空作业车液压系统的设计研究</u>		学位论文	孔德琴	合肥工业大学	2009
7	1.83%	<u>中间包滑动水口液压系统建模与仿真</u>		学位论文	张国权	东北大学	2009
8	1.83%	<u>深海液压系统专用注油装置的设计与实现</u>		学位论文	郝帅	浙江大学	2013
9	1.83%	<u>跨座式单轨交通车辆转向架综合试验台液压系统研究</u>		学位论文	刘伟	重庆大学	2010
10	1.83%	<u>专用磨床静压支承系统分析与仿真</u>		学位论文	徐铮	兰州理工大学	2009
11	1.83%	<u>锻造操作机夹钳升降液压系统建模与仿真</u>		学位论文	刘治宇	东北大学	2008
12	1.83%	<u>高速水稻插秧机分插机构试验台的研究;割前摘脱稻麦联收机底盘的设计研究</u>		学位论文	王金武	浙江大学	2003
13	1.83%	<u>背罐车设计及结构分析</u>		学位论文	汤传彬	南京理工大学	2006
14	1.83%	<u>内螺旋油槽专用铣床机械系统的设计研究</u>		学位论文	尤永祥	广东工业大学	2011
15	1.83%	<u>虚功原理法进行多层剪叉机构受力分析</u>		期刊论文	于永江 等	机械设计与制造	2008
16	1.83%	<u>兆瓦级风力发电机变桨距液压控制系统的仿真及研究</u>		学位论文	田亚平	沈阳理工大学	2005
17	1.83%	<u>飞机起落架地面滑行试验系统设计</u>		学位论文	王占海	南京航空航天大学	2007
18	1.83%	<u>船用货物吊的电气控制</u>		学位论文	李长恒	大连理工大学	2009
19	1.83%	<u>小口径钻杆生产线淬火及回火工序的开发设计</u>		学位论文	张淑慧	中北大学	2008
20	1.83%	<u>铝熔炼、保温炉自动控制系统研究</u>		学位论文	舒立	东北大学	2007
21	1.83%	<u>多功能沥青路面养护车总体和上料机构设计与结构分析</u>		学位论文	郝慧慧	长安大学	2013

序号	相似比	相似论文标题	参考文献	论文类型	作者	来源	发表时间
22	1.83%	<u>龙门起重机电气控制系统的设计与研究</u>		学位论文	徐俊	武汉理工大学	2007
23	1.83%	<u>钢筋预应力操作装置的微机测控系统研究</u>		学位论文	姜心国	西南交通大学	2007
24	1.83%	<u>电磁阀测试系统压力控制方法的研究</u>		学位论文	刘刚	东北大学	2008
25	1.83%	<u>基于图像处理技术的喷嘴流量分布不均匀度检测方法的研究</u>		学位论文	黄学章	中南大学	2006
26	1.83%	<u>基于虚拟仪器的连铸机结晶器调宽油缸电液比例试验台的研究</u>		学位论文	马刚	东北大学	2007
27	1.83%	<u>火炮升降机构可靠性测试系统的研究与实现</u>		学位论文	申燕飞	西南交通大学	2006
28	1.83%	<u>某型液压缺性能测试试验台研究</u>		学位论文	龙晓金	西南科技大学	2011

[查看全文报告请点击](#)

说明:

1. 总相似比 \approx 送检论文与检测范围全部数据相似部分的字数/送检论文总字数
2. 参考文献相似比 \approx 送检论文与其参考文献相似部分的字数/送检论文总字数
3. 排除参考文献相似比=总相似比-参考文献相似比
4. 剩余相似比 \approx 总相似比-典型片段总相似比
5. 本报告为检测系统算法自动生成, 仅供参考